



59C 02500 D

T-11-19

RZ 6A → RZ 18B**ZENER DIODES
DIODES ZENER****50 W silicon Zener diodes :**

- Hermetically sealed metal according to normalization CCTU : F 10 and JEDEC DO-5.
- Available with anode to case or cathode to case connections.
- High surge capability : 300 W @ 10 ms.

Diodes Zener de 50 W au silicium :

- Encapsulées métal selon normalisation CCTU : F 10 et JEDEC DO-5.
- Disponible avec anode ou cathode reliée au boîtier.
- Forte tenue en surcharge : 300 W @ 10 ms.

P_{tot} = 20 W**6,8 V ≤ V_{ZT} nom ≤ 180 V**Case
Boîtier : DO-5 (CB-34)Cathode connected to case
RZ 6A → RZ 18B
Anode connected to case
RZ 6AR → RZ 18BR**ABSOLUTE RATINGS (LIMITING VALUES)
VALEURS LIMITES ABSOLUES D'UTILISATION**T_{amb} = 75°C

DC power dissipation (see fig. 1) Dissipation de puissance en régime permanent (voir fig. 1)	P _{tot}	20	W	
Continuous reverse current Courant inverse continu	I _{ZM}	See page 2 Voir page 2	mA	
Non repetitive surge peak power dissipation (t = 10 ms) (see fig. 7) Puissance de surcharge crête accidentelle (t = 10 ms) (voir fig. 7)	P _{RSRM}	300	W	
Operating temperature Température de fonctionnement	T _{oper}	-65 → +150	°C	
Storage temperature Température de stockage	T _{stg}	-65 → +150	°C	
Maximum junction temperature Température maximale de jonction	max	T _j	150	°C

Junction-case thermal resistance
Résistance thermique jonction-boîtier

max

R_{th} (j-c)

3,75

°C/W

December 1983 - 1/3

RZ6A → RZ18B

59C 02501 D T-11-19

ELECTRICAL CHARACTERISTIC
CARACTÉRISTIQUES ÉLECTRIQUEST_{amb} = 25°C

Types	V _{ZT} / I _{ZT} nom max (V)	I _{ZT} /I _{ZT} max Ω	I _{ZT} (mA)	I _{ZK} /I _{ZK} max Ω	I _{ZK} (mA)	α V _Z typ (10 ⁻⁴ /°C)	I _{ZM} (mA)	
RZ 6A, (R)	6,1	6,8	7,5	1	730	250	3	2700
RZ 8A, (R)	7,4	8,2	9,1	1,2	610	150	4	2200
RZ 10A, (R)	9,0	10	11	1,8	500	150	5	1800
RZ 12A, (R)	10,5	12	13,5	2,4	420	150	2	1540
RZ 15A, (R)	13	15	16,5	3,9	330	150	2	1250
RZ 18A, (R)	16	18	20,5	5,7	280	150	2	1000
RZ 22A, (R)	20	22	24,5	6,9	230	150	2	830
RZ 27A, (R)	24	27	30	9	180	200	2	665
RZ 33A, (R)	29	33	36	11	150	200	2	565
RZ 39A, (R)	35	39	43	13	120	200	2	465
RZ 47A, (R)	42	47	52	16	100	200	2	390
RZ 56A, (R)	50	56	62	18	90	500	2	320
RZ 68A, (R)	61	68	75	24	73	500	2	265
RZ 82A, (R)	74	82	91	33	60	500	2	220
RZ 10B, (R)	90	100	110	56	50	700	2	180
RZ 12B, (R)	105	120	135	76	42	700	2	154
RZ 15B, (R)	130	150	165	150	33	1000	2	125
RZ 18B, (R)	160	180	205	280	28	1000	2	100

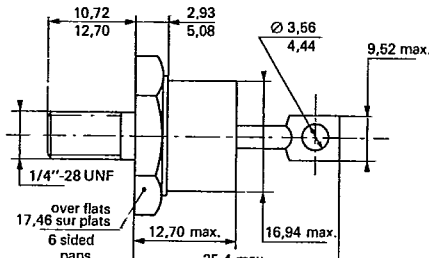
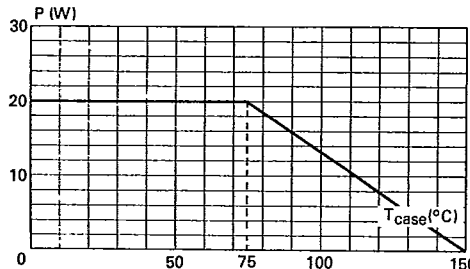
CASE DESCRIPTION
DESCRIPTION DU BOITIERWeight
Masse : 25 gMarking : clear
Marquage en clairMaximum torque value
Couple de serrage maximum : 310 cm AN

Fig. 1 - Maximum mean allowable power dissipation versus case temperature.

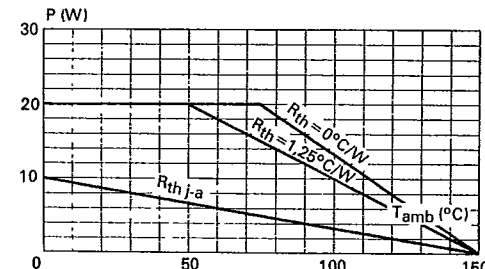


Fig. 2 - Maximum mean allowable power dissipation versus ambient temperature for different thermal resistances.

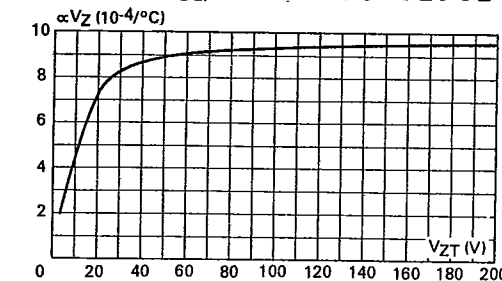


Fig. 3 - Temperature coefficient $\alpha_{VZ} = \frac{\Delta V_{ZT}}{V_{ZT} \Delta T}$ versus V_{ZT} (typical values).

RZ 6A \leftrightarrow RZ 18B

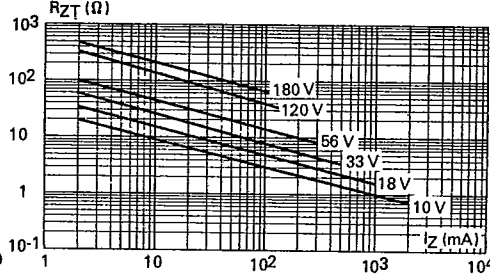


Fig. 4 - Differential resistance R_{ZT} versus I_Z (maximum values).

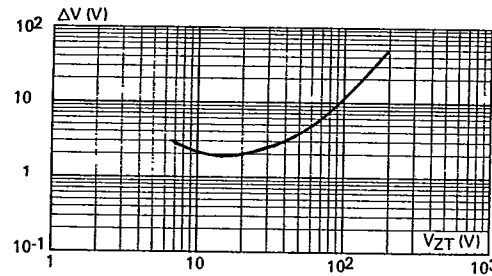


Fig. 5 - Regulation voltage variation for I_Z variation between 10 % and 50 % of $|I_ZM|$ (typical values) D.C. measure ($T_{case} = 25^{\circ}\text{C}$).

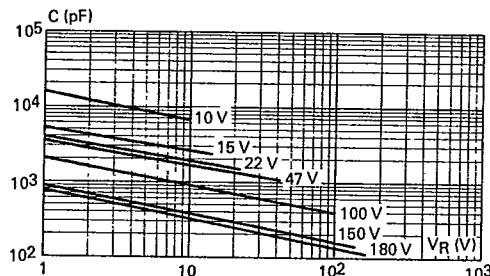


Fig. 6 - Capacity C versus reverse voltage V_R (typical values).

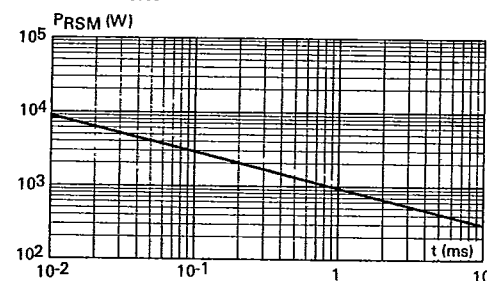


Fig. 7 - Non repetitive surge peak reverse power dissipation $PRSM$ versus pulse duration (rectangular impulsion).

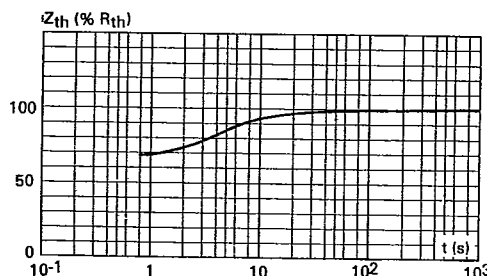


Fig. 8 - Transient thermal impedance Z_{th} versus pulse duration (rectangular impulsion).

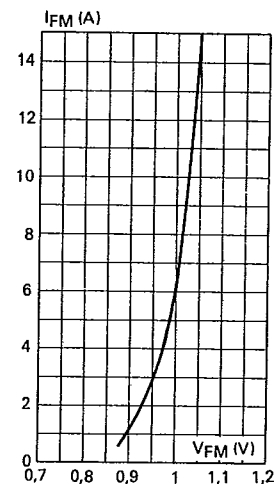


Fig. 9 - Peak forward current I_{FM} versus peak forward voltage drop V_{FM} at $T_{case} = 25^{\circ}\text{C}$ (typical values).